

外部電源에 의한 水中鋼帶의 陰極防蝕에 關한 研究

閔丙彥

A Study on the Cathodic Protection of a Steel Strip
in Water by Impressed Current Method

Min Byeongeon

目次	次
記號説明	
1. 序論	5. 電源装置의 所要電壓, 防蝕의 所要電力 및 最適防蝕條件
2. 實驗裝置와 實驗條件	5.1 電源装置의 所要電壓의 實驗式
3. 分極電位의 理論式와 實測分極電位	5.2 防蝕의 所要電力 實驗式
3.1 分極電位의 理論的 分佈式	5.3 最適防蝕條件
3.2 分極電位의 計算值과 實測值의 比較	6. 結論
4. 分極電位의 計算值과 實測值와 同一하게 하는 條件	參考文献
4.1 表面抵抗의 實驗式	附錄 I 表面抵抗(R)의 實驗式 誘導
4.2 排流点의 分極電位의 實驗式	附錄 II 排流点의 分極電位의 實驗式 誘導
4.3 分極電位의 補正計算值과 實測值의 比較	附錄 III Programming
	附錄 IV 附表(Table A~E)

Abstract

The electric power for corrosion prevention is much more affected by the anode location in the impressed current method than by the galvanic anode method. However, investigation about this influence of the anode location in the impressed current method has not nearly been performed.

In this work, the effect of the anode location on the polarization potential and electric power etc. for corrosion prevention has been investigated using the simplest sample of a steel strip.

It is concluded that;

- 1) The general formulas for calculating of cathodic polarization potential on the steel strip is given as

$$E_s = E_0 e^{-\alpha x} = E_0 e^{-\sqrt{m_0 \rho_s / mt} x / \sqrt{R}}$$

$$E_0 = \{1.205 / [\log(80h)]^{1.1547}\} i_0 - 346.8 / (80h)^{0.41}$$

$$\sqrt{R} \times 10^8 = (13.504h + 2.1656)x + (1059.328h - 35.605)$$

where, when the anode height rate (h) is 0.25~0.5 the accuracy of calculated potential is higher.

2) Required voltage of power source for the cathodic protection can be determined by

$$V_0 = I_0 (0.144 + 0.0123 \log[lh]) \rho \times 10^{-8} + 1.7$$

$$I_0 = 2i_0 m_0 l \times 10^{-4} = i_0 m_0 L \times 10^{-4}$$

3) Required power for cathodic protection can be determined by

$$P = V_0 I_0 = I_0^2 (0.144 + 0.0123 \log[lh]) \rho \times 10^{-8} + 1.7 I_0$$

4) The more specific resistance of water is larger, the greater is the effect of anode location on the required minimum power.

h range when it requires minimum power is 0.5625~0.6875 without any relation with the specific resistance. But when h range is 0.375~0.6875, the effect of h on the required minimum power is very small and the accuracy of calculated potential is considerably high.

記號 說明

x : 排流点에서 測定点까지의 距離(cm)

m, m_0 : 試驗片의 實幅과 露出幅(cm)

l, L : 試驗片의 半長과 全長(cm)

t : 試驗片의 實두께 (cm)

I_0, I_x : 排流点과 x 点을 흐르는 電流(mA)

E_0, E_x : 排流点과 x 点의 分極電位(mV)

$R, w (= R/m_0)$: 試驗片의 表面抵抗($\Omega\text{-cm}^2$)과 1cm길이 當의 試驗片의 表面抵抗($\Omega\text{-cm}$)

$\rho_s, r (= \rho_s / mt)$: 試驗片의 比抵抗($\Omega\text{-cm}$)과 1cm 길이 當의 試驗片의 金屬抵抗(Ω/cm)

$\alpha = \sqrt{r/w}$: 減衰係數(cm^{-1})

H, h : 試驗片부터 陽極까지의 높이(cm) 및 높이率(H/l)

V_0 : 電壓裝置의 負荷電壓(V)

i_0, i_x : 試驗片의 平均印加電流密度(mA/m^2) 및 x 点의 電流密度(mA/m^2)

ρ, ρ_{27} : 任意溫度와 27°C 下의 물의 比抵抗 ($\Omega\text{-cm}$)

R_{ph} : 比抵抗 ρ ($\Omega\text{-cm}$)의 水中에서 陽極높이 H cm일 때의 防蝕回路抵抗(Ω)

P : 防蝕電力(mW)

1. 序論

陰極防蝕法은 水中이나 地中의 모든 金屬体에 對하여 適用시킬 수 있는 防蝕法이며, 모든 防蝕法中에서 가장 確實하고 가장 經濟的인 防蝕法으로 定評되고 있다.^{1), 2)} 이 防蝕法에는 流電陽極法과 外部電源法이 있으나, 大型鐵鋼体의 長期間의 防蝕에는 外部電源法이 많이 利用되고 있다.³⁾

陰極防蝕法中에서 가장 重要한 것은^{4), 5)} 被防蝕体의 各部의 分極電位를 防蝕電位(-770mV SCE)以下의 거의 均等한 一定值로 維持하는 것이다. 이를 위해서는 小形의 많은 數의 陽極을 採用하여야 하나, 이 경우에는 陽極의 設置費用이 많이 들므로 陽極의 크기가 自然히 一定 크기 以上으로 制

限 받게 된다. 따라서 被防蝕体의 分極電位의 分布狀態가 不均等하게 되므로一部分은 過防蝕되고一部分은 防蝕不足으로 되기 쉽다. 特히 外部電源法은 費用關係로 流電陽極法에 比하여 아주 적은 數의 아주 큰 容量의 陽極으로 防蝕하므로 被防蝕体의 分極電位分布狀態가 아주 나쁘며, 陽極의 設置位置의 適否影響이 流電陽極法의 경우보다 훨씬 크게 나타난다. 또 流電陽極法에는 最近에 大型 밸라스토 탱크에 對하여 陽極의 設置費用을 아주 節減하고 分極電位의 分布狀態도 좋게 하는 새로운 陽極設置工法^⑥이 開發되었다. 그러나, 外部電源法에는 이것의 適用도 不可能하다.

金屬構造物을 陰極防蝕할 때 被防蝕体의 分極電位分布가 어떻게 되는가에 關한 理論的 解析은 管內面의 경우^{⑦~⑨}와 長大한 地下埋設管의 外面의 경우^{⑩~⑫}에는 많은 進展이 있으나, 比較的 薄은 配管의 外面과 大型水槽의 内面 등의 防蝕問題에 있어서는 아직 具體的인 研究實績이 없다. 特히 陽極의 位置가 被防蝕体의 分極電位分布에 미치는 影響에 對해서는 配管外面의 防蝕에 對한 定性的인 研究^⑤以外에는 찾아 볼 수 없다.

이 研究는 가장 簡單한 被防蝕体의 試驗片으로서 水中の 鋼帶를 採用하여 被防蝕体의 分極電位分布, 防蝕에 必要한 印加電壓 및 所要 防蝕電力에 미치는 陽極의 位置의 影響을 理論的인 面과 實驗的인 面에서 調査하였으며 끝으로 이 경우의 最適防蝕條件를 考察하였다. 그러므로 이 研究는 鐵鋼製의 配管外面이나 大型水槽內面 등을 外部電源法으로 防蝕할 때, 陽極의 位置에 따라 그 防蝕狀態가 어떻게 變하며 또 가장 經濟的으로 防蝕시킬 수 있는 適正陽極位置는 어떻게決定할 것인가 등을 究明할 基礎資料로서 이바지할 것이다.

2. 實驗裝置와 實驗方法

2.1 實驗裝置

이 研究를 하기 위하여 實驗裝置는 Fig. 1과 같이 配置하였다. 試驗片은 試驗水槽內의 3個의 砂器사발 위에 올려 놓았으며, 不溶性 陽極은 試驗片 中央點上方에서 높이만을 調節할 수 있도록 固定하였고, 基準電極은 試驗片 上面에 沿하여 길이 方向으로 움직일 수 있도록 設置한 뒤에 電源裝置와 電位差計를 각각 配線하였다.

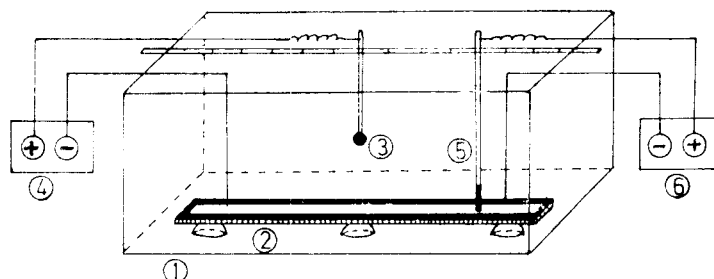


Fig. 1. Experimental equipment

- | | |
|-----------------------------|----------------------------|
| ① Fresh water tank | ④ Electric power source |
| ② Test piece | ⑤ Reference electrode(SCE) |
| ③ Pb-Ag insoluble electrode | ⑥ Potentiometer |

이 實驗裝置의 詳細는 다음과 같다.

1) 試驗片(Fig. 2 參照)

試驗片은 길이 165cm, 폭 5cm, 두께 0.3cm의 構造用 炭素鋼帶를 採用하여 와이어 브러쉬와 샌드ペ이퍼로 脱銹하고 아세톤으로 脱脂한 後에 有效作用面積이 160cm×3cm가 되도록 露出시키고 그 밖의 表面과 全裏面은 ZRP(Zinc rich primer)를 1회, 예폭시 타알塗料를 4회 칠하여 絶緣시켰다. 이 試驗片의 絶緣塗裝은 排流端線과 測定用 端線을 미리 불인 後에 하였다. 試驗片의 露出面積(有效作用面積)은 0.048m²이다.

2) 測定機器

(1) 電位差計 : High resistance D.C. voltmeter

Internal resistance: 100,000Ω/V

Type: NCE-MR-3E

(2) 電源裝置 : 直流定電壓裝置

25V×3A容量 : 本大學製作

V-A meter: HINOKI 5L64 tester

(3) 不溶性 陽極 : 合銀鉛(Pb—Ag) 電極

10mmφ球形, 本大學製作

(4) 基準電極 : 飽和칼로멜電極

Type: Backman RL-B

(5) 實驗用 水槽 : 試驗片과 同一하게 內面을 絶緣시킨 軟鋼板水槽

치수 : 180cm×120cm×60cm

容量 : 1톤(水深 : 50cm)

2.2 實驗用水의 質

用水는 清水였으나 쇠녹이 많으므로 150g/톤의 黃酸알루미늄을 加하여 清澄시켰다. 이 實驗用水의 質은 Table 1과 같았으며 實驗中의 水溫은 24.6°~28.6°C의 範圍이었다.

Table 1. Qualities of fresh water used for the experiments

Water temp °C	pH	Total hardness ppm CaCO ₃	Total alkalinity ppm CaCO ₃	Chloride ppm Cl ⁻	Specific resistance Ω-cm	Specific gravity
27	5.8	700	8	58.5	2,210	1.0024

2.3 實驗方法

이 實驗은 試驗片을 水槽에 浸漬하고 처음 2週日間은 曝間 8時間만 電流密度 100mA/m²로 陰極防蝕하고 그 外의 時間은 無防蝕狀態로 放置해 둠으로써 試驗片을 安定化시켰으며, 이 環境에서 充分히 安定되도록 한 1個月後부터 通電試驗을 開始하였다. 이 때의 試驗片의 自然電位는 -650mV(SCE)였다.

試驗片 表面의 分極電位는 外部電源에서 防蝕電流를 通電하여 分極電位가 10分間 以上 安定되는 10分後에 測定하였으며, 다음의 測定時까지 自然腐蝕狀態로, 即 自然電位가 -650mV(SCE)로 復極되도록 約 50分間씩 기다렸다.

分極電位의 測定時의 不溶性陽極의 位置는 試驗片上面 中央點부터의 높이 $H=lh$ (l : 試驗片의 길이/2=80cm)를 5, 10, 20 및 40cm로 바꾸어 가면서, 또 外部에서 印加하는 電流(括弧內의 數值은 電流密度)를 12.5(260.4), 15(312.5), 17.5(364.6) 및 20mA(416.7mA/m²)로 바꿔가면서 測定하였다.

으며,試驗片表面의 分極電位를 그 中央点(排流点)으로부터 10cm 間隔으로 饱和칼로멜電極(SCE)基準으로 測定하여 記錄하였다.

坐參考의in 補助實驗으로서 이 試驗片의 1/4点과 3/4点의 두 point의 上方에 同一한 不溶性陽極各 한個씩을 設置하고 本實驗과 同一 要領으로 外部電流를 通하여 그 分極電位를 測定하였다.

3. 分極電位의 理論式과 實測分極電位

3.1 分極電位의 理論的 分布式(表面抵抗의 非單流動數의 時)

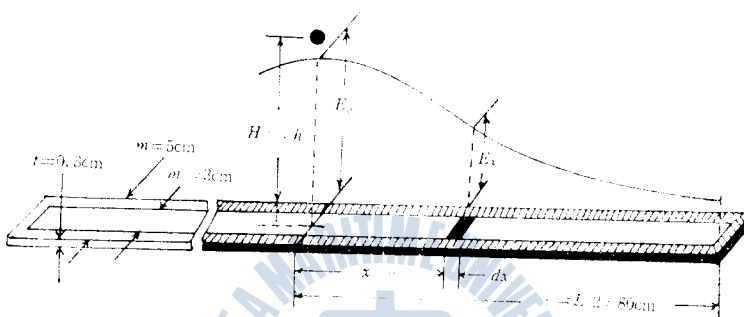


Fig. 2 Polarization potential on the strip protected by cathodic protection.

排流点(中央点)에서 $x\text{cm}$ 떨어진 곳의 試驗片의 表面積 $m_0dx(\text{cm}^2)$ 에 流入하는 電流를 $dI_x(\text{A})$ 라 하면 그 電流密度 $dI_x/m_0dx (\text{A}/\text{cm}^2)$ 에 의하여 일어나는 試驗片 表面의 電位變化 即 分極值(=實測電位-腐蝕電位) $E_x(\text{V})$ 와 單位表面積의 表面抵抗 $R(\Omega\cdot\text{cm}^2)$ 은

單位 길이(cm)當의 試驗片의 表面抵抗을 μ ($\Omega \cdot \text{cm}$)라 치면

$$w = R/m_0$$

(3-1) 34 (3-2) 34

$$dI_x/dx = -E_x/\mu_0 \quad \dots \dots \dots \dots \dots \dots \dots \dots$$

이 x 점의試驗片을 흐르는 電流 I_x (A)는 dx 間에서 dE_x (V)의 電位變化를 생기게 하므로 試驗片의 比抵抗은 ρ_x ($\Omega \cdot \text{cm}$) 그 異值은 ρ_x^* 이라 할 때

$dE = -I \cdot \rho \cdot dx / \pi r^2$

$$(3-4) - (9-5) = p_3 - p_2$$

式에서

$$dE_x = -I_x$$

$$\frac{d^2F}{dt^2} \leq -\gamma^2 F, \quad \forall t \in [0, T]$$

$$d^2E_x/dx^2 = -rdI_x.$$

$$-7) \text{ 式에 } \text{ 대입하면} \quad 1^2 F_1(1, 2, -1) = -$$

但, $\sqrt{r/w} = \alpha$ (減衰係数) (3-9)

定數。且由(3-8)式的一般解是

(3-10)式을 變形하면

$$E_x = \frac{1}{2} [A(e^{\alpha x} + e^{-\alpha x}) + B(e^{\alpha x} - e^{-\alpha x})] \quad (3-11)$$

試驗片의 길이가 無限長이라 하고 $x=0$ (排流點)에서 $E_x=E_0$ 라 하면 $x=\infty$ 에서 $dE_x/dx=0$ 가 되므로 이 境界條件에서 (3-11)式의 未知數를 求한다.

前者의 條件 ($x=0$ 에서 $E_x=E_0$)에서

$$A=E_0$$

後者의 條件에서 (3-10)式을 微分하면

$$dE_x/dx = \alpha(A \sinh \alpha x + B \cosh \alpha x)$$

$$= \frac{\alpha}{2} [A(e^{\alpha x} - e^{-\alpha x}) + B(e^{\alpha x} + e^{-\alpha x})]$$

$x=\infty$ 일 때 $e^{-\alpha x}=0$ 이므로

$$B=-A=-E_0$$

$$\therefore E_x = E_0 (\cosh \alpha x - \sinh \alpha x) = E_0 e^{-\alpha x} \quad (3-12)$$

(3-12)式을 x 로 微分하여 (3-6)式에 代入하면

$$dE_x/dx = -\alpha E_0 e^{-\alpha x} = -r I_x$$

$$\therefore I_x = (\alpha/r) E_0 e^{-\alpha x} = (E_0 / \sqrt{rw}) e^{-\alpha x} \quad (3-13)$$

(3-13)式에서 $x=0$ 일 때 $I_x=\frac{1}{2}I_0$ 라 하면

$$\frac{1}{2}I_0 = E_0 / \sqrt{rw} \quad (3-14)$$

(3-14)式을 (3-13)式에 代入하면

$$I_x = \frac{1}{2} I_0 e^{-\alpha x} \quad (3-15)$$

3.2 分極電位의 計算值와 實測值의 比較

試驗片의 치수가 $m=5\text{cm}$, $m_0=3\text{cm}$, $t=0.3\text{cm}$ 및 $L=2l=160\text{cm}$ 고 炭素鋼의 比抵抗 $\rho_s=13.5\times 10^{-6}(\Omega\cdot\text{cm})$ 程度¹⁵⁾이므로 單位길이 當의 試驗片의 導體抵抗 $r(\Omega/\text{cm})$ 와 表面抵抗 $w(\Omega\cdot\text{cm})$ 등은

$$r=\rho_s/m t=(13.5/1.5)\times 10^{-6}(\Omega/\text{cm}) \quad (3-16)$$

$$w=R/m_0=R/3 \quad (\Omega\cdot\text{cm}) \quad (3-17)$$

$$\alpha=\sqrt{r/w}=\sqrt{m_0\rho_s/mt}/\sqrt{R}=5.196\times 10^{-8}/\sqrt{R}(\text{cm}^{-1}) \quad (3-18)$$

(3-16)~(3-18)式에서, 또 (3-14)式에서

$$\sqrt{rw}=r/\alpha=1.732\times 10^{-8}\sqrt{R}=2E_0/I_0(\Omega) \quad (3-19)$$

(3-18)式을 (3-12)式에 代入하면 이 試驗片上의 分極電位分布式은

$$\begin{aligned} E_x &= E_0 e^{-\alpha x} = E_0 e^{-\sqrt{m_0\rho_s/mt} x / \sqrt{R}} \\ &= E_0 e^{-5.196x / \sqrt{R} \times 10^8} (\text{mV}) \end{aligned} \quad (3-20)$$

이 때의 R 값은 (3-19)式에서

$$\sqrt{R}=0.5774\times 10^8 (2E_0/I_0) \quad (\Omega^{1/2}\text{cm}) \quad (3-21)$$

即 앞의 假定과 같이 R 가 電流密度에 따라 變하지 않고 全試驗片面에서 一定할 때의 R 값이 (3-21)式이다. 그러므로 이 경우의 R 는 E_0/I_0 만의 函數이다.

Fig. 3은 陽極을 試驗片의 中央上方에 둔 本實驗裝置에서 實測한 結果이며, 陽極의 電流密度에 따라 分極電位의 分布狀態가 어떻게 變化하는가를 圖示한 것이다.

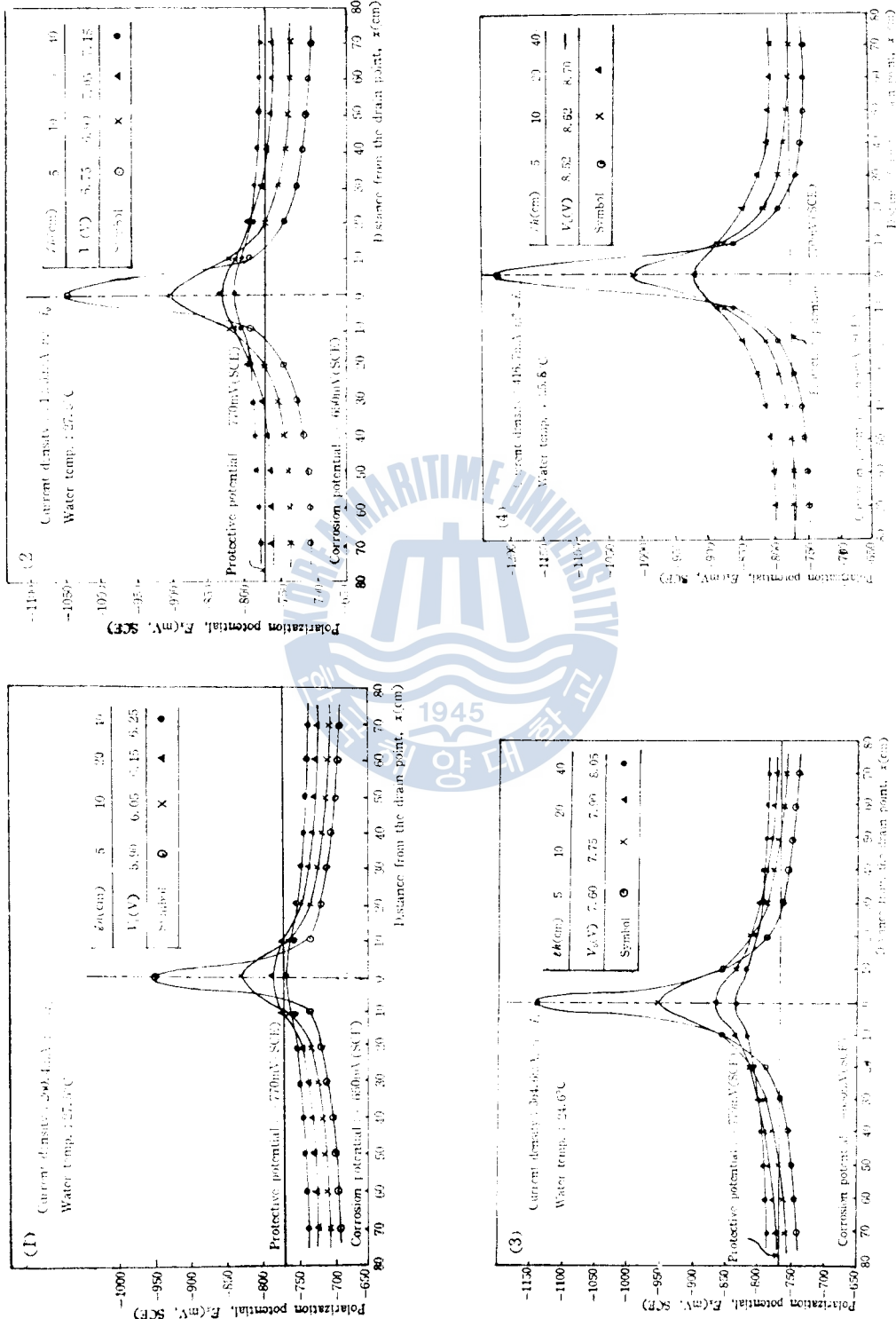


Fig. 3. Cathodic polarization potentials (An anode, Middle, upper point)

實驗結果의 한例로서 陽極이 길이 $2l=80\text{cm} \times 2$ 의 試驗片의 中央上方에 있을 경우 陰極電流 I_0 가 17.5mA ($i_0=364.6\text{mA/m}^2$) 일 때 陽極높이率 $h=H/l$ 에 對한 E_0/I_0 (實測值)와 \sqrt{R} (計算值)가 Table 2의 左半部와 같으므로 이 實驗에서 測定한 試驗片上의 分極電位와 (3-20)式으로 計算한 分極電位가 同表의 右半部와 같이 된다.

Table 2. Cathodic polarization potentials $\left[\begin{array}{l} 2l=80\text{cm} \times 2 \\ i_0=364.6\text{mA/m}^2 \end{array} \right]$

$h=H/l$	E_0/I_0 (Ω)	\sqrt{R} ($\Omega^{1/2}\text{cm}$)	$x(\text{cm})$ M, C*	0	10	20	30	40	50	60	70
0.0625	28.00	32.334	M	490	205	135	120	110	105	95	90
		$\times 10^3$	C	490	490.000	490.000	499.000	490.000	490.000	489.997	489.995
0.125	17.43	20.128	M	305	205	165	140	130	120	115	110
		$\times 10^3$	C	305	305.000	305.000	304.999	304.997	304.997	304.997	304.997
0.25	12.29	14.197	M	215	185	165	150	135	132	130	128
		$\times 10^3$	C	215	215.000	214.999	214.998	214.998	214.998	214.996	214.996
0.5	10.29	11.882	M	180	165	155	145	140	135	132	130
		$\times 10^3$	C	180	180.000	179.999	179.998	179.996	179.996	179.995	179.995

* M: Measured polarization potentials(mV). C: Calculated potentials(mV) from the formula(3-20).

Table. 2에서 分極電位의 測定值와 計算值의 兩者間에 큰 差가 있는 것은 計算의 簡略化 때문에 試驗片의 길이를 無限長으로 取扱한 것과 表面抵抗 R 를 試驗片各部 電流密度의 非函數 即, 試驗片 全長에 걸쳐 一定이라 看做하였기 때문이다. 그러나, 이 差異는 陽極의 높이率 h 를 增加시켜 試驗片上의 分極電位分布를 좋게 할수록 減少됨을 알 수 있다.

그리므로 試驗片의 길이 l 과 陽極높이率 h 가 比較的 작은 경우에는 表面抵抗 R 은 各測定点의 電流密度에 따라 變하고, 이 测定点의 電流密度 i_x 는 陽極높이率 h 및 排流点에서 测定点까지의 거리 x 의 函數로 다루어야 한다. 따라서 任意点의 分極電位 E_x 는 一定 i_0 下에서 R 를 h 와 x 의 函數로, E_0 를 i_0 와 h 의 函數로 取扱하여 計算하면 된다.

4. 分極電位의 計算值과 實測值와 同一하게 하는 條件

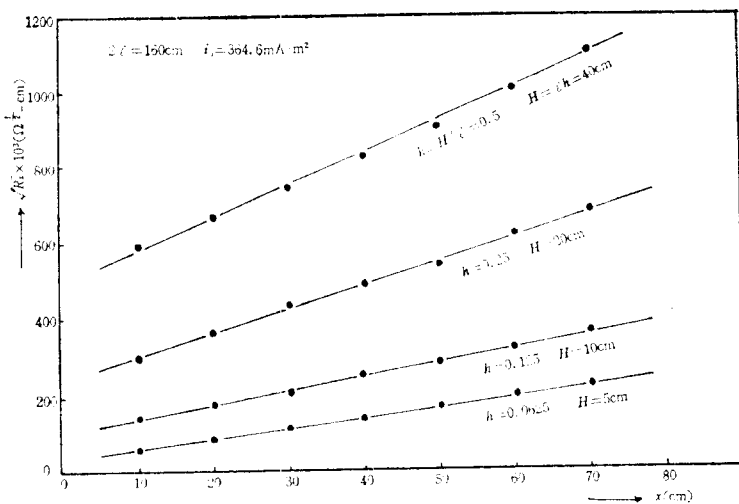
(3-20)式인 $E_x = E_0 e^{-5.196x/\sqrt{R} \times 10^3}$ 에서 計算되는 分極電位가 그 實測值와 同一하게 되기 위해 서는前述한 바와 같이 表面抵抗 R 이 陽極 높이率 h 와 排流点에서 测定点까지의 거리 x 의 函數로 表示되어야 하고, 排流点에서의 分極電位 E_0 가 平均電流密度 i_0 와 陽極높이率 h 의 函數로 表示되어야 한다.

4.1 表面抵抗의 實驗式

R 은 一定한 i_0 와 一定한 h 下에서 (3-20)式의 E_0 와 E_x 의 實測值를 代入하여 求하고 다시 이 R 과 주어진 h 와 的 關係를 求하면 一定한 i_0 下의 R 의 一般式이 求해진다.

(3-20)式을 變形하면

$$\sqrt{R} \times 10^3 = 5.196x / \ln(E_0/E_x) \quad \dots \quad (4-1)$$

Fig. 4. Relations of x to $\sqrt{R_s}$ when $i_0 = 364.6 \text{mA}/\text{m}^2$

한 예로서 一定 電流密度 $i_0 = 364.6 \text{mA}/\text{m}^2$ 下의 各 陽極 높이率 h 에 대하여 $\sqrt{R_s}$ 와 x 의 關係는 (4-1) 式에 E_0 와 E_s 의 實測值의 代入에 의하여 Fig. 4와 같이 直線的으로 된다. 그레프로 그 一般式은

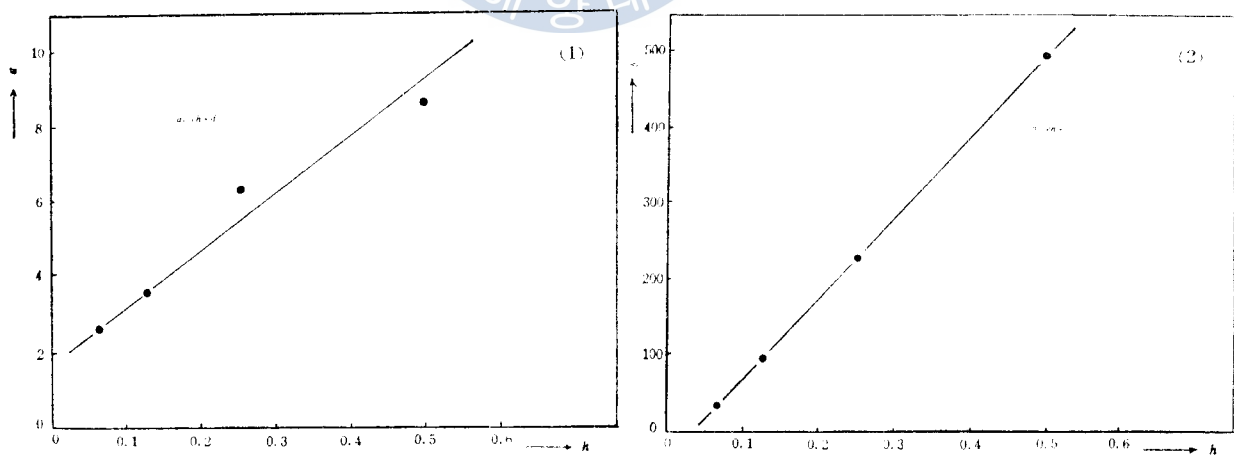
$$\sqrt{R} \times 10^3 = ax + b \quad \dots \dots \dots (4-2)$$

또 (4-2)式의 a 와 b 는 주어진 lh 에 대하여 Fig. 5와 같이 저의 直線關係가 있으므로 (4-2)式은

$$\sqrt{R} \times 10^3 = (ch + d)x + (eh + f) \quad \dots \dots \dots (4-3)$$

(4-3)式의 c, d, e 및 f 는 測定值를 代入하여 最小自乘法으로 決定하면 表面抵抗式(附錄 I 參照)은 다음과 같이 된다.

$$\sqrt{R} \times 10^3 = (13.504h + 2.1656)x + (1059.328h - 35.605) \quad \dots \dots \dots (4-4)$$

Fig. 5. Relations of a and b to h

4.2 排流点의 分極電位(E_0)의 實驗式

一定한 陽極 높이率 h 에 대한 平均電流密度 i_0 와 排流点에서의 分極電位 E_0 의 關係는 實測值 (Fig. 3 參照)에 의하여 Fig. 6과 같이 直線的이므로

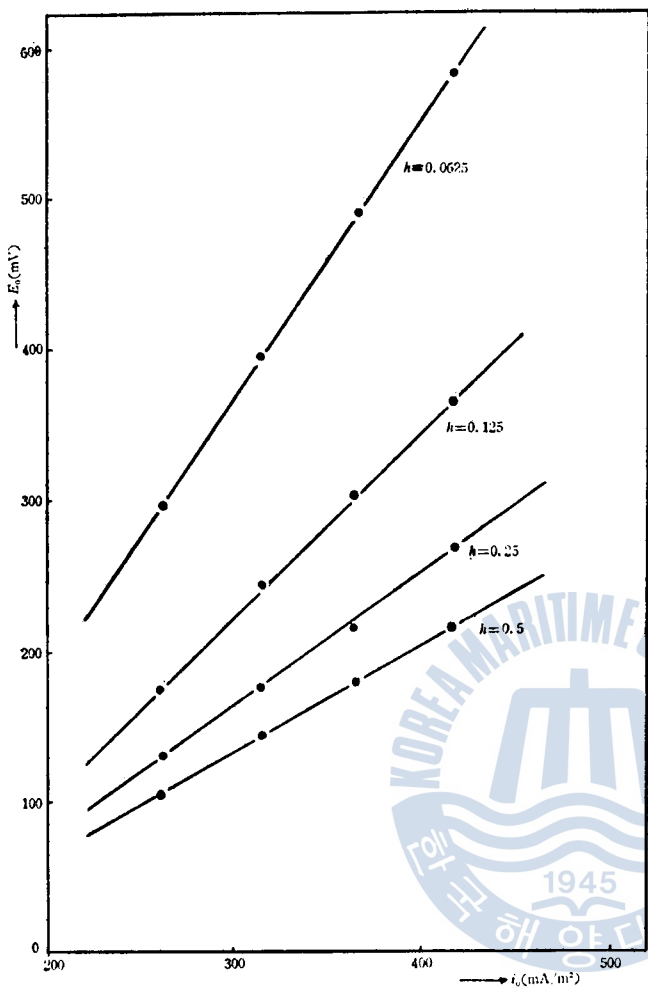


Fig. 6. Relations of h and i_0 to E_0

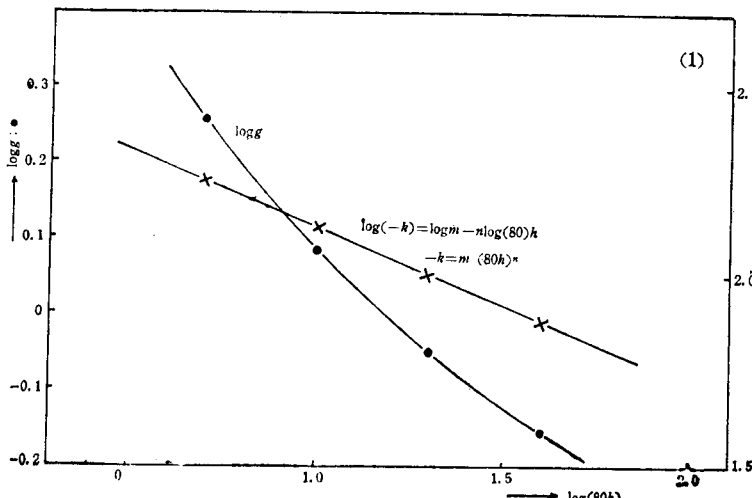


Fig. 7. Relations of lh to g and k (1)

$$E_0 = gi_0 + k \dots \dots \dots (4-5)$$

(4-5)式의 g 와 k 는 h 에 대하여 Fig. 7과 같은 관계가 있으므로 이들 값을最小自乘法에 의하여 구하면(附錄 II 參照) 排流点의 分極電位 E_0 는

$$E_0 = \{1.205 / [\log(80h)]^{1.1587}\} i_0 - 346.8 / (80h)^{0.41} \dots \dots \dots (4-6)$$

4.3 分極電位의 補正計算值와 實測值와의 比較

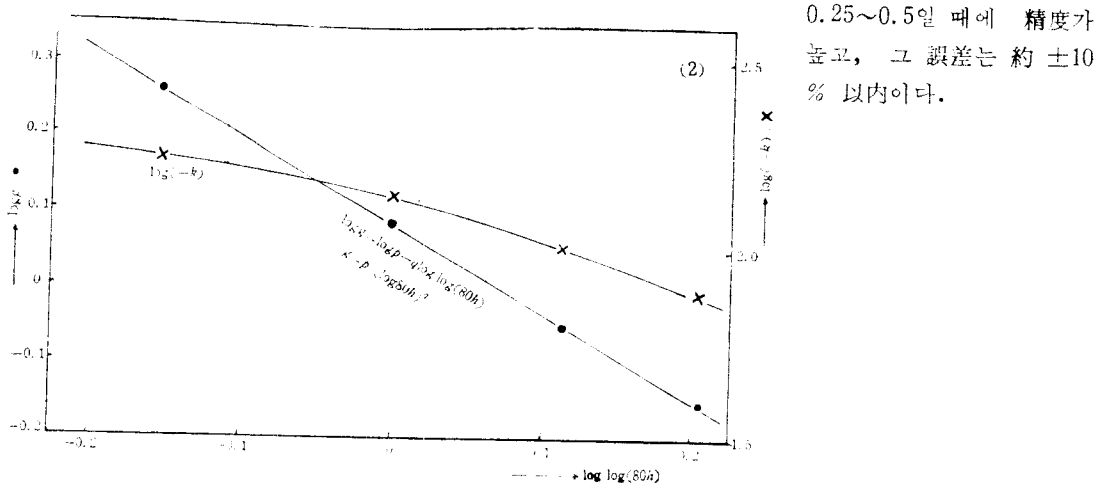
分極電位의 計算值 E_s 는 (3-20)式의 $\sqrt{R} \times 10^8$ 이 (4-4)式으로, E_0 가 (4-6)式으로 表示될 때 實測值와 近似的으로 같게 될 것이다. 이 分極電位의 計算值를 補正計算值라 하자.

Table A(附錄 IV 參照)는 本實驗의 分極電位의 實測值와 그 補正計算值의 比較이고, Table B는 다시 그 實測值에 對한 補正計算值의 比率을 表示한 것이다. Table B에 의하면 陽極 높이率 h 가 0.25 ~ 0.5일 때 補正計算值가 實測值에 가장接近하여 이 때의 補正計算值는 實測值에 對하여若干의 特異한 点을 除外하면 士10% 以內의 精度를 갖는다는 것을 알 수 있다.

또 參考的인 補助實驗에서의 實測值(두

陽極의 外側部의 分極電位)와 그 補正計算值 및 實測值에 對한 補正計算值의 比率은 Table C(附錄 IV 參照)와 같다. 이 補助實驗에서도 陽極의 높이率 h 가 0.25 ~ 0.5일 때에 補正計算值가 實測值에 가장 가까워지며, 實測值에 對하여若干의 特異한 点을 除外하면 士15% 以內의 精度를 갖는다.

따라서 鋼帶面의 陰分極電位 計算의 一般式은 다음의 3式으로 要約되며, 陽極 높이率 h 가

Fig. 7. Relations of Ih to g and k (2)

$$(3-20): E_x = E_0 e^{-\alpha x} = E_0 e^{-\sqrt{m_0 \rho_s / m t}} x / \sqrt{R}$$

$$(4-4): \sqrt{R} \times 10^3 = (13.504h + 2.1656)x + (1059.328h - 35.605)$$

$$(4-6): E_0 = \{1.205 / [\log(80h)]^{1.1567}\} i_0 - 364.8 / (80h)^{0.41}$$

5. 電源裝置의 所要電壓과 防蝕의 所要電力 및 最適防蝕條件

5.1 電源裝置의 所要電壓의 實驗式

鐵鋼의 防蝕에 不溶性 陽極으로 合銀鉛電極을 使用할 때 PbO_2-Fe 間의 理論的 물 分解電壓이 $1.7V^{15)}$ 이므로 防蝕電流 $I_0(A)$ 를 흘리기 위한 所要電壓 $V_0(V)$ 는

$$V_0 = I_0 R_{ph} \times 10^{-3} + 1.7 \quad \dots \dots \dots \quad (5-1)$$

全防蝕回路抵抗 $R_{ph}(m\Omega)$ 는 (5-1)에서

$$R_{ph} = (V_0 - 1.7) / I_0 \times 10^3 \quad \dots \dots \dots \quad (5-2)$$

本 實驗에서 不溶性 陽極의 높이 Ih 와 全防蝕電流 $I_0 (= i_0 m_0 l \times 2 \times 10^{-4} mA)$ 에 對하여 所要電壓 V_0 는 Table 3과 같으므로 式(5-2)에 代入하여 全防蝕回路抵抗 R_{ph} 와 그 平均值를 求하면 Table 4와 같이 된다. Fig. 8은 Table 4를 圖示한 것이다.

Fig. 8에 의하면 R_{ph} 는 $\log[Ih](\log[Ih])$ 는 Ih 의 數值, 但 l 은 cm單位에 比例하므로

$$R_{ph} = (B + C \log[Ih]) \rho_{27} = B \rho_{27} + C \rho_{27} \log[Ih] = D + E \log[Ih] \quad \dots \dots \dots \quad (5-3)$$

(5-3)式의 D, E 를 Table 4의 數值에 의하여 最小自乘法으로 決定하면

$$D = 319.157, E = 27.2428 \text{이} \text{다.} \text{ 且 } \rho_{27} = 2210 \Omega \cdot \text{cm} \text{이} \text{므로}$$

$$B = D / \rho_{27} = 319.157 / 2210 = 0.144 \quad \dots \dots \dots \quad (5-4)$$

$$C = E / \rho_{27} = 27.2428 / 2210 = 0.0123 \quad \dots \dots \dots \quad (5-5)$$

(5-4), (5-5)式을 (5-3)式에 代入하면 防蝕回路의 全抵抗 R_{ph} 는

$$R_{ph} = (0.144 + 0.0123 \log[Ih]) \rho \quad (\Omega) \quad \dots \dots \dots \quad (5-6)$$

但, ρ 는 任意溫度下의 物의 比抵抗($\Omega \cdot \text{cm}$)이므로

(5-6)式을 (5-1)式에 代入하면 所要電壓 V_0 는

$$V_0 = I_0 (0.144 + 0.0123 \log[Ih]) \rho \times 10^{-3} + 1.7, (V) \quad \dots \dots \dots \quad (5-7)$$

Table 3. Relations of V_0 to lh and I_0

$I_0(\text{mA})$	12.5	15	17.5	20	h
$lh=H(\text{cm})$					
5	5.90	6.75	7.60	8.52	0.0625
10	6.05	6.90	7.75	8.62	0.125
20	6.15	7.05	7.90	8.70	0.25
40	6.25	7.15	8.05	—	0.5

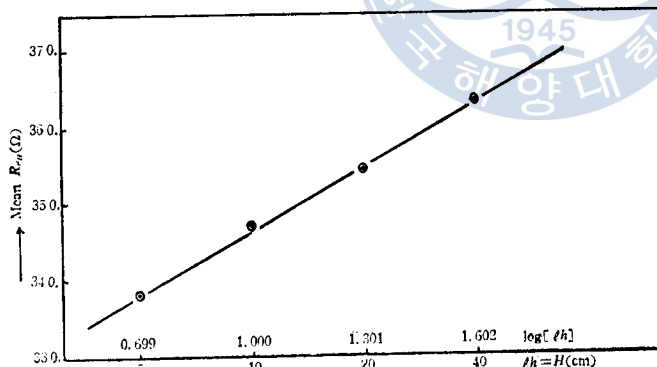
Table 4. Relations of R_{ph} to lh and I_0

$I_0(\text{mA})$	12.5	15	17.5	20	Mean R_{ph} (Ω)	$\log[lh]$
$lh=H(\text{cm})$						
5	336	337	337	341	338	0.699
10	348	347	346	346	347	1.000
20	356	357	354	350	354	1.301
40	364	363	363	—	363	1.602

(5-7)式으로 計算되는 값과 實測值에 對한 %는 Table D(附錄 IV 參照)와 같다.

Table D에 의하면 (5-7)式의 所要電壓은 陽極의 높이率 h 나 防蝕電流 I_0 에 關係없이 ±1.0% 以內의 精度를 갖는다.

또 參考의in 補助實驗에서는 두 陽極의 内外側으로 나누고 그 外側에 對하여 (5-7)式에 $I_0=I'_0/2$ 을 適用할 때 所要電壓의(計算值)/(測定值)와 그 比率이 Table E와 같이 된다. 이것에 의하면 (5-7)式은 h 나 I_0 에 거의 關係없이 約 10% 以內의 精度를 갖는다는 것을 알 수 있다.

Fig. 8. Relations of mean R_{ph} to lh

所要防蝕電流密度 i_0 에 經驗值를 使用한다면 그 電流密度와 被防蝕面積의 相乘積으로 求하여 活用할 수 있다. 即

$$I_0 = i_0 m_0 l \times 2 \times 10^{-4} \text{ (mA)} \quad \dots \dots \dots \quad (5-9)$$

5.3 最適防蝕條件

(3-20)式에서 $x=l$ 일 때 $E_x=E_l$ (防蝕에 所要되는 分極值)를 代入하면

$$E_l = E_0 e^{-\sqrt{m_0 \rho_s / mt} l / \sqrt{R}} \quad \dots \dots \dots \quad (5-10)$$

(4-4)式에 $x=l$ 을 代入하면

$$\sqrt{R} \times 10^8 = (13.504h + 2.1656)l + (1059.328h - 35.605) \dots \dots \dots (5-11)$$

(4-6)式은 그대로

$$E_0 = \{1.205 / [\log(80h)]^{1.1567}\} i_0 - 346.8 / (80h)^{0.41} \dots \dots \dots (5-12)$$

(5-10)~(5-12)式에서 $i_0 = f_1(h)$ 를 求하고 (5-9)式에서 I_0 를 求한 다음에 (5-8)式에서 $P = f_2(h, \rho)$ 를 求한다. 그 다음에 $\partial P / \partial h = 0$ 의 最少條件에서 $h = f_3(\rho)$ 를 求하면 가장 電力を 超계 물에서 防蝕할 수 있는 陽極의 位置 h 가 된다. 이 때의 V_0 와 I_0 를 求하면 그것이 電源裝置에 要求하는 最少容量이 될 것이다.

그리나, 計算이 대단히 복잡하므로 各 防蝕與件을 代入하여 數值計算하는 것이 善하다. 例로서 本 試驗에 使用되었다 試驗片을 생각하자.

$m=5\text{cm}$, $m_0=3\text{cm}$, $t=0.3\text{cm}$, $l=L/2=80\text{cm}$ 이고 $\rho_s=13.5 \times 10^{-6} \Omega\text{-cm}$ 의 試驗片에서 全試驗片이 防蝕되기 위해서는 試驗片의 끝部分이 다음과 같이 120mV 負分極되어야 한다. 即

$$E = E_{s0} = -770 - (-650) = -120\text{mV} \dots \dots \dots (5-13)$$

따라서 防蝕電力 P 의 算式은

$$P = (3.318 + 0.283 \log H) \rho i_0^2 \times 10^{-7} + 0.0816 i_0 \dots \dots \dots (5-14)$$

$$i_0 = [99.59 e^{418/(26.521H+137.584)} + 287.8/H^{0.41}] [\log H]^{1.1567} \dots \dots \dots (5-15)$$

위의 條件下의 一名 ρ 下에서 어려가지 $lh = H$ 를 代入하여 $P(h, \rho)$ 를 電算 (附錄 Ⅲ 參照)하니 一定 ρ 下에서 $P(h, \rho)$ 에 미치는 lh 即 h 의 영향을 Fig. 9에 圖示하였다.

이 그림에 의하면 물의 比抵抗 ρ 가 큰 경우는 陽極의 設置位置 h 의 適正問題가 防蝕電力 $P(h, \rho)$ 에 크게 영향을 미친다, 海水와 같이 ρ 가 적은 경우는 이 영향이 아주 작다. 換言하면 最少防蝕電力を 要하는 h 는 ρ 에 거의 關係 없이 $h=0.5625 \sim 0.6875$ 의 범위이나, ρ 가 적은 경우는 $h=0.375$ 以上에서 最少防蝕電力에 미치는 h 의 영향이 아주 커다. 그러므로 水中鋼帶를 한 陽極으로 防蝕할 때 그 陽極의 높이率 h 는 물의 比抵抗 ρ 에 따라 $h=0.375 \sim 0.5625$ 程度로 하는 것이 좋다. 이 때는前述한 바와 같이 諸算式의 精度도 높다.

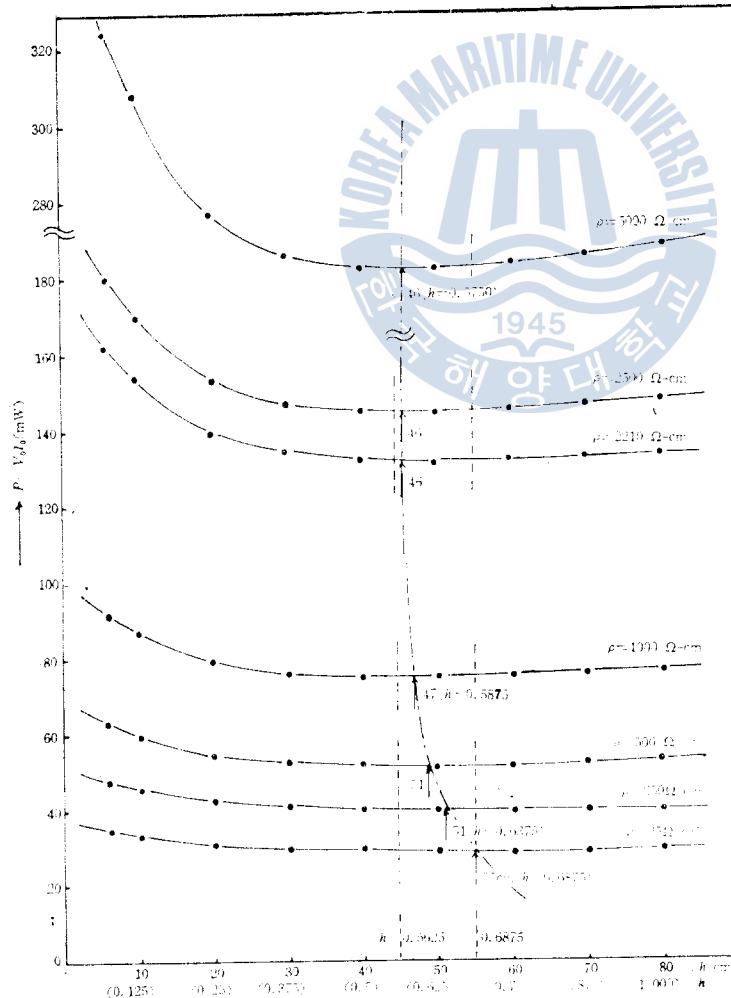


Fig. 9. Relations ρ and h to $P(\rho, h)$

6. 結論

外部電源에 의한 水中鋼帶의 陰極防蝕에 關한 以上의 研究에서 다음의 結論을 내릴 수 있다.

1) 鋼帶面의 陰分極電位 計算의 一般式은 다음과 같으며, 陽極 높이率 h 가 0.25~0.5 범위에서 精度가 높다.

$$\begin{aligned} E_x &= E_0 e^{-\alpha x} = E_0 e^{-\sqrt{m_0 \rho_s / mt} x / \sqrt{R}} \\ E_0 &= [1.205 / [\log(80h)]^{1.1567}] i_0 - 346.8 / (80h)^{0.41} \\ \sqrt{R} \times 10^8 &= (13.504h + 2.1656)x + (1059.328h - 35.605) \end{aligned}$$

2) 陰極防蝕用 電源裝置의 所要電壓은 다음 式으로 求할 수 있다.

$$\begin{aligned} V_0 &= I_0 (0.144 + 0.0123 \log[lh]) \rho \times 10^{-8} + 1.7 \\ I_0 &= 2i_0 m_0 l \times 10^{-4} = i_0 m_0 L \times 10^{-4} \end{aligned}$$

3) 陰極防蝕의 所要電力은 다음 式으로 求할 수 있다.

$$P = V_0 I_0 = I_0^2 (0.144 + 0.0123 \log[lh]) \rho \times 10^{-8} + 1.7 I_0$$

4) 물의 比抵抗(ρ)이 클수록 陽極의 設置位置(h)의 適正問題가 防蝕電力(P)에 크게 영향을 미친다, 最少防蝕電力を 要하는 h 는 ρ 에 거의 관계없이 0.5625~0.6875의 범위이다. 그러나, 最少防蝕電力과 計算式의 精度를 고려하면 陽極높이率 h 는 $h=0.375\sim0.5625$ 가 적당하다.

參考文獻

1. G. L. Daly: 防蝕技術, Vol. 15, No. 8, p. 372(1963)
2. H. H. Uhlig: Corrosion and Corrosion Control, John Wiley, p. 195(1965)
3. 田大熙: 腐蝕と防蝕, 實用編, 海洋大學 圖書出版部, p. 87 (1975)
4. 中川雅夫: 電氣防食法の實際, 地人書館, pp. 133~134(1967)
5. R. Pope: Uhlig's Corrosion Handbook, John Wiley, p. 942(1963)
6. 篠建彦: 金屬, Vol. 45, No. 8. アクネ, p. 19(1975)
7. J. H. Morgan: Corrosion, Vol. 15, August, NACE, pp. 417~422(1954)
8. 田大熙: 韓國海洋大學 論文集, Vol. 10, pp. 55~76(1975)
9. 佐藤・山内: 防食技術, Vol. 25, No. 10, pp. 611~617(1976)
10. 前掲書(2), p. 352
11. D. A. Jones: Shreir's Corrosion—2, pp. 11~13~17(1976)
12. 前掲書(5), pp. 942~946
13. 前掲書(2), p. 352
14. 前掲書(9), p. 613
15. 外島忍: 基礎電氣化學, 朝倉書店, p. 333(1965)

附錄 I 表面抵抗(R)의 實驗式 誘導

(3-20)式을 變形하면

$$\sqrt{R} \times 10^3 = 5.196x / \ln(E_0/Ex) \quad \dots \dots \dots \quad (4-1)$$

(4-1)式에 一定 i_0 와 一定 h 下에서 E_0 와 x 에 대한 E_i 의 測定值를 代入하여 R 를 求하고, 再시 이 R 와 주어진 h 와의 關係를 求하면 一定 i_0 下의 R 의 一般式을 求할 수 있다. Fig. 4는 이 要領에 의하여 각 h 下의 x 와 $\sqrt{R} \times 10^3$ 의 關係를 求하여 圖示한 것이다. 이 그림에서 각 h 에 대하여 x 와 $\sqrt{R} \times 10^3$ 의 關係가 直線的이고 다음의 一般式이 成立한다.

$$\sqrt{R} \times 10^3 = ax + b \quad \dots \dots \dots \quad (1)$$

1式에 각 h 下의 x 에 대한 $\sqrt{R} \times 10^3$ 의 計算值를 代入하여 最小自乘法으로 두 未知數를 決定한다.

(1) $h=0.0625(H=5\text{cm})$ 의 경우

$$\begin{aligned} p(\sqrt{R} \times 10^3, x) &= (10a+b-0.0597)^2 + (20a+b-0.0806)^2 \\ &\quad + (30a+b-0.1108)^2 + (40a+b-0.1391)^2 \\ &\quad + (50a+b-0.1687)^2 + (60a+b-0.1900)^2 + (70a+b-0.2146)^2 \quad \dots \dots \quad (2) \\ \partial p / \partial a &= 0 \text{ 일 때} \end{aligned}$$

$$14000a + 280b = 45.954 \quad \dots \dots \dots \quad (3)$$

$$\partial p / \partial b = 0 \text{ 일 때} \quad \dots \dots \dots \quad (4)$$

$$280a + 7b = 0.9635 \quad \dots \dots \dots \quad (5)$$

3, 4式을 聯立하여 풀면 $a=2.6478$, $b=31.731$ 으로

$$\sqrt{R_1} \times 10^3 = 2.6478x + 31.731 \quad \dots \dots \dots \quad (6)$$

(2) $h=0.125(H=10\text{cm})$ 의 경우

(1)의 경우와 같은 要領으로

$$\sqrt{R_2} \times 10^3 = 3.684x + 96.487 \quad \dots \dots \dots \quad (7)$$

(3) $h=0.25(H=20\text{cm})$ 의 경우

$$\sqrt{R_3} \times 10^3 = 6.430x + 227.740 \quad \dots \dots \dots \quad (8)$$

(4) $h=0.5(H=40\text{cm})$ 의 경우

$$\sqrt{R_4} \times 10^3 = 8.564x + 494.726 \quad \dots \dots \dots \quad (9)$$

5~8式의 a 와 b 를 整理하면 Table 5와 같고 이를 圖示하면 Fig. 5의 (1), (2)와 같다.

Table 5. Relations of a and b to h

h	0.0625	0.125	0.25	0.5
lh (cm)	5	10	20	40
a	2.65	3.68	6.43	8.56
b	31.73	96.49	227.74	494.73

Fig. 5에 의하여 다음의 一般式이 成立한다.

$$a = ch + d \quad \dots \dots \dots \quad (9)$$

$$b = ch + f \quad \dots \dots \dots \quad (10)$$

Table 6을 그림하면 Fig. 7의 (1), (2)와 같이 되므로 다음의 관계가 成立함을 알 수 있다.*

$$\log g = \log b - q \log \log(80h) \dots \quad (9)$$

9, 10 式의 未知數 p 와 q 및 m 과 n 을 Table 6의 값을 대입하여 最小自乘法으로决定하라.

$$\begin{aligned} \log g &= 0.080977 - 1.1567 \log \log(80h) \\ &= \log 1.205 - \log[\log(80h)]^{1.1567} \\ &= \log\{1.205/\log(80h)^{1.1567}\} \\ \therefore g &= 1.205 / [\log(80h)]^{1.1567} \end{aligned} \quad (1)$$

$$\begin{aligned} \text{E. } \log(-k) &= 2.540 - 0.410\log(80h) \\ &= \log 346.8 - \log(80h)^{0.41} \\ &= \log[346.8/(80h)^{0.41}] \\ \therefore -k &= 346.8/(80h)^{0.41} \end{aligned} \quad \text{...12...}$$

$$n, 12 \text{ 式을 } 10 \text{ 式에 대입하면} \\ E_0 = \{1, 205 / [\log(80h)]^{1.1567}\} i_0 - 346.8 / (80h)^{0.41} \dots \dots \dots \quad (13)$$

附錄 III Programming

PANAFACOM UMS/D E004 FORTRAN V01/L05 -760101-

ISN STNO SOURCE STATEMENT

```

1      FUNCTION P(H, R)
2      F=(99.6*EXP(416.0/(26.521*H+137.584))+288.0/H**0.41)*
3          ( ALOGI0(H))**11.157
4      P=(3.32+.283*ALOGI0*(H))*R*F*F*1.E-7+.0816*F
5      RETURN
6      END

```

PANAFACOM UMOS/D E004 FORTRAN V01/L05 -760101-

JSN STNO. SOURCE STATEMENT

```

1      DO 2 J=1,5
2      READ (5,100) R
3      100 FORMAT(F10.3)
4          WRITE (6,106) R
5      106 FORMAT (1H1,'RHO=' F10.1)
6          DO 10 I=1,120
7          H=I
8          PP=P(H,R)
9          WRITE(6,102) H,R,PP
10     102 FORMAT (3E15.7)
11     10 CONTINUE
12     2 CONTINUE
13     STOP
14     END

```

附錄 IV 附表

Table A The calculated potential and measured potential (mV) [Protected area: 0.048m²
Length of stirp: 1.60m(2l)]

i_0 (mA/m ²)	x (cm) h	0	10	20	30	40	50	60	70
260.4	0.0625	295.57 (290)	125.67 (75)	94.10 (65)	81.41 (60)	74.62 (50)	70.40 (45)	67.53 (40)	65.46 (35)
	0.125	178.86 (175)	121.78 (110)	98.33 (75)	85.13 (70)	78.09 (65)	72.87 (60)	69.11 (55)	66.28 (50)
	0.25	128.98 (130)	107.46 (115)	95.02 (95)	86.96 (85)	81.34 (80)	77.21 (80)	74.04 (75)	71.54 (70)
	0.5	105.49 (110)	96.50 (105)	90.39 (100)	85.97 (95)	82.63 (93)	80.02 (90)	77.92 (88)	76.20 (85)
312.5	0.0625	390.57 (395)	165.93 (135)	124.34 (85)	107.58 (70)	98.60 (63)	93.03 (57)	89.24 (54)	86.50 (50)
	0.125	241.64 (245)	164.53 (165)	132.849 (115)	115.93 (95)	105.50 (93)	98.44 (91)	93.37 (89)	89.55 (87)
	0.25	176.20 (175)	146.80 (155)	129.80 (140)	118.80 (125)	111.12 (115)	105.48 (113)	101.15 (110)	97.73 (107)
	0.5	141.89 (155)	129.80 (145)	121.57 (135)	115.63 (132)	111.14 (129)	107.63 (127)	104.81 (125)	102.50 (123)
364.6	0.0625	485.58 (490)	206.30 (205)	154.59 (135)	133.74 (120)	122.58 (110)	115.66 (105)	110.95 (95)	107.54 (90)
	0.125	304.42 (305)	207.27 (205)	167.36 (165)	146.05 (140)	132.91 (130)	124.02 (120)	117.63 (115)	102.81 (110)
	0.25	222.50 (215)	185.38 (185)	163.91 (165)	150.02 (150)	140.33 (135)	133.19 (132)	127.73 (130)	123.42 (128)
	0.5	178.29 (180)	163.09 (165)	152.76 (155)	145.29 (145)	139.65 (140)	135.23 (135)	131.69 (132)	128.79 (130)
416.7	0.0625	580.58 (570)	246.66 (210)	184.84 (140)	159.91 (115)	146.57 (105)	138.29 (103)	132.65 (100)	128.58 (98)
	0.125	367.20 (360)	250.01 (220)	201.88 (160)	176.18 (140)	160.32 (130)	149.60 (125)	141.88 (123)	136.07 (120)
	0.25	268.81 (265)	223.96 (225)	198.03 (205)	181.24 (170)	169.53 (160)	160.91 (155)	154.31 (153)	149.10 (150)

() ; Measured potentials

Table B Calculated potential $\times 100$ (%) [Protected area: 0.048m²
Measured potential Length of strip: 1.60m (2l)]

i_0 (mA/m ²)	x (cm)	Measured potential $\times 100$ (%)							
		0	10	20	30	40	50	60	70
260.4	0.0625	101.9	167.4	144.6	135.7	149.2	156.4	168.8	187.0
	0.125	102.2	110.7	131.1	121.6	120.1	121.5	125.7	132.6
	0.25	99.2	93.4	100.0	102.3	161.7	96.5	98.7	102.2
	0.5	95.9	91.9	90.4	90.5	88.8	88.9	88.5	89.6
312.5	0.0625	98.9	122.9	146.3	153.7	156.5	163.2	165.3	173.0
	0.125	98.6	99.7	115.5	122.0	113.4	108.2	104.9	102.9
	0.25	100.7	94.7	92.7	95.0	96.6	93.3	92.0	91.3
	0.5	91.5	89.5	90.1	87.6	86.2	84.7	83.8	83.3
364.6	0.0625	99.1	100.6	114.5	111.5	111.4	110.2	116.8	119.5
	0.125	99.8	101.1	101.4	104.3	102.2	103.3	102.3	93.5
	0.25	103.5	100.2	99.3	100.0	103.9	100.9	98.3	96.4
	0.5	99.1	98.8	98.6	100.2	99.8	100.2	101.3	99.1
416.7	0.0625	101.9	117.5	132.0	139.1	139.6	134.3	132.7	131.2
	0.125	102.0	113.6	126.2	125.8	123.3	119.7	115.3	113.4
	0.25	101.4	99.5	96.6	106.6	105.0	103.8	100.9	99.4

Table C [Calculated potential (E_{xc})/Measured potential(E_{xm})] and the ratio
(Secondary experiment)

i_0 (mA/m ²)	x (cm)	0		10		20		30		35	
		E_{xc}/E_{xm}	%	E_{xc}/E_{xm}	%	E_{xc}/E_{xm}	%	E_{xc}/E_{xm}	%	E_{xc}/E_{xm}	%
208.3	0.125	16.08 160	72.6	79.07 80	98.8	63.86 70	91.2	55.73 60	92.9	52.95 55	96.3
	0.25	83.58 110	76.0	69.64 80	87.1	61.58 65	94.7	56.36 60	93.9	54.39 57	95.4
	0.5	69.09 85	81.3	62.19 80	77.7	59.19 70	84.6	56.30 67	84.0	55.14 65	84.8
260.4	0.125	178.86 195	91.7	121.84 115	105.9	98.39 90	109.3	85.86 75	114.5	81.59 70	116.6
	0.25	129.89 165	78.7	108.22 110	98.4	95.69 100	95.7	87.58 90	97.3	84.52 85	99.4
	0.5	105.49 125	84.4	95.00 115	82.6	90.38 110	82.2	85.96 105	81.9	84.19 95	88.6
	1.0	91.55 130	70.4	87.61 125	70.1	84.70 120	67.3	82.48 115	71.7	81.55 110	74.1

	0.125	<u>241.64</u> 230	105.1	<u>164.60</u> 125	131.7	<u>132.93</u> 100	132.9	<u>116.00</u> 95	122.1	<u>110.22</u> 90	122.5
312.5	0.25	<u>176.20</u> 170	103.6	<u>146.80</u> 130	112.9	<u>129.80</u> 110	118.0	<u>118.80</u> 105	113.1	<u>114.65</u> 100	114.7
	0.5	<u>141.89</u> 145	97.9	<u>129.79</u> 135	96.1	<u>121.57</u> 125	97.3	<u>115.63</u> 120	96.4	<u>113.24</u> 117	96.8
	0.75	<u>128.79</u> 140	92.0	<u>121.42</u> 135	89.9	<u>116.14</u> 130	89.3	<u>112.16</u> 125	89.7	<u>110.53</u> 120	92.1
	0.125	<u>246.70</u> 275	89.7	<u>168.05</u> 170	98.9	<u>135.71</u> 135	100.5	<u>118.43</u> 120	98.7	<u>112.53</u> 115	97.9
416.7	0.25	<u>179.93</u> 215	83.7	<u>149.91</u> 175	85.7	<u>132.55</u> 140	94.7	<u>121.32</u> 130	93.3	<u>117.08</u> 125	93.7
	0.5	<u>144.82</u> 180	80.5	<u>132.48</u> 170	77.9	<u>124.08</u> 160	77.6	<u>118.02</u> 155	76.1	<u>115.57</u> 150	77.0

Table D [Calculated voltage (V_{oc})/Measured voltage(V_{om})] and the ratio (Primary experiment)

h	I_0 (mA) $lh=H$ (cm)	12.5		15		17.5		20	
		V_{oc}/V_{om}	%	V_{oc}/V_{om}	%	V_{oc}/V_{om}	%	V_{oc}/V_{om}	%
0.0625	5	<u>5.916</u> 5.90	100.3	<u>6.759</u> 6.70	100.1	<u>7.602</u> 7.60	100.0	<u>8.445</u> 8.52	99.1
0.125	10	<u>6.018</u> 6.05	99.5	<u>6.881</u> 6.90	99.7	<u>7.745</u> 7.75	99.9	<u>8.609</u> 8.62	99.9
0.25	20	<u>6.120</u> 6.15	99.5	<u>7.004</u> 7.05	99.3	<u>7.888</u> 7.90	99.8	<u>8.772</u> 8.70	100.8
0.5	40	<u>6.222</u> 6.25	99.6	<u>7.127</u> 7.15	99.7	<u>8.301</u> 8.05	99.8	—	—

Table E [Calculated voltage(V_{oc})/Measured voltage(V_{om})] and the ratio (Secondary experiment)

h	$I_o = I'_o/2$ (mA) $lh=H$ (cm)	5		6.25		7.5		10	
		V_{oc}/V_{om}	%	V_{oc}/V_{om}	%	V_{oc}/V_{om}	%	V_{oc}/V_{om}	%
0.125	5	<u>3.39</u> 3.78	89.6	<u>3.81</u> 4.20	90.7	<u>4.23</u> 4.68	90.4	<u>5.07</u> 5.18	97.9
0.25	10	<u>3.43</u> 3.83	89.6	<u>3.86</u> 4.25	90.8	<u>4.29</u> 4.73	90.7	<u>5.15</u> 5.23	98.6
0.5	20	<u>3.47</u> 3.90	88.9	<u>3.91</u> 4.32	90.5	<u>4.35</u> 4.80	90.6	<u>5.24</u> 5.32	98.4
1.0	40	—	—	<u>3.96</u> 4.42	89.6	<u>4.41</u> 4.90	89.6	—	—